

岐阜大学 正員 井上肇  
岐阜大学 正員 ○近藤昇

### 1. まえがき

高速度交通網が発達するにつれて、道路の線形性が重視されるようになり、橋梁も、曲線橋や斜橋の架設例が多くなった。例えば、国鉄新幹線や、高速度国道など、全面立体交叉で通過する路線では、在来路線と小さな斜角で交叉する構造物が、きわめて多い。斜角構造物の解析において、特に考慮されなければならないのは、一般的K、直構造物では無視できるような、ねじりモーメントや、せん断力を無視できないことである。斜めアーチ橋は、初期において、橋軸に平行な単位幅のアーチとして、直アーチと同じく、平面的K解析された。これは、考えうる最大のスパンを解析対象としているので、安全側の結果を示すものと考えられるが、このようにして設計されたコンクリートスラブ斜めアーチのスラブK、クラックが発生するという事故例が報告された。この事実を考慮して、3次元的K解析する斜めアーチの理論には、Ratcliff<sup>2)</sup>, Hayden<sup>3)</sup>, Barron<sup>4)</sup>, Michelas<sup>5)</sup>のものがあげられる。Ratcliffは、図-1のような、対称形である両端固定の斜めスラブアーチを、図-2のようK、クラウンで、左右の片持ばかりに二分し、6個の不静定力を、 $T_x$ ,  $T_y$ ,  $T_z$ ,  $M_x$ ,  $M_y$ ,  $M_z$ を、クラウンでの変位適合条件より求めた近似解法を提案した。ここで、クラウンでの変位は、

アーチ曲面の半径方向面に沿って等分される要素、Sを、棒要素に換算し、その中心の変位によるクラウンでの変位の合計として算定されている。外力は、温度変化、集中荷重、死荷重、等分布荷重、すべてK適用でき、荷重の種類により、微少不静定力は省略して、計算式を簡単にするよう配慮がなされている。

Haydenは、2ピンジメントアーチKにおいて、4個の不静定力を、一つのピンジ支点の反力をKとし、仮想仕事の原理に基づく方法を提案している。Barronは、弾性重心法により、弾性方程式を簡単にできることを示している。しかし、これらの方法は、すべて、反力、断面力、変位が3次元的Kを考えられてはいるが、いわゆる棒理論によるものである。アーチ幅員方向K、断面力や変位が一様ではない斜め構造物の解析には、幅員方向の広がりをも考慮して、曲面板理論として解析することが望ましいであろう。

### 2. 曲面板解析

アーチの曲面板解析においては、アーチ曲面の曲げ剛性を考慮して、膜理論K、曲げモーメントと、法線方向せん断力を加えた、一般的なシェル理論により解析が行われるべきであろう。その場合、アーチの自由辺での境界条件は、斜めアーチの場合、非常に複雑になる。一般的K、シェルの中央面を表示するには、その主曲率面と中央面との交線を座標軸とした、曲線座標系による表示が適当である。ところが、例えば円筒中央面を考へても、斜めアーチの自由辺は、その主曲率面ではない平面との交線であるため、自由辺境界条件式において、微係数項の係数が、自由辺全体にわたって定数とはならない。いわゆる、偏微分方程式の理論解はもう少し、その数値近似解法である差分法においても、この境界条件の複雑さは克服できない。そこで、任意境界形状に適用できる有限要素法により、曲面板解析を試みた。

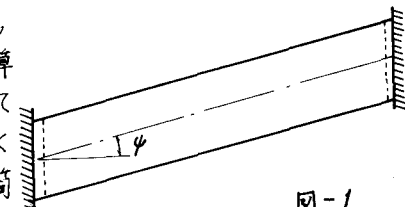


図-1

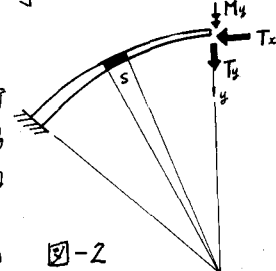
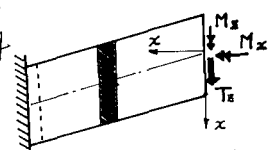
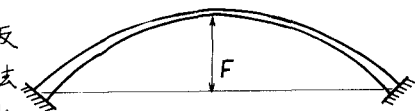


図-2

### 3. 有限要素法

有限要素法による曲面板解析には、曲面要素か3次物理近似モデルを用いる場合と、平板要素の集合体からなる折れ板モデルを用いる場合が考えられる。有限要素法においては、平板要素の研究は、かなり完成しており、これを用いた、折れ板モデルのシェル解析が、多くのグループにより応用され、良好な結果がえられている。本論においても、この折れ板モデルを採用した。図-1のようだ、円筒面よりなる斜めスラブアーチを、橋軸方向垂直面と、円筒中心軸を含む半径方向面で等分し、各要素を、四隅で節点とした平行四辺形板で置き換えれば、図-3のようだ、折れ板モデルとなる。アーチ曲面に対する、この平行四辺形要素の力学的特性を、板曲げ要素と、膜要素を単純に重ね合せることにより定められる。そして、有限要素法の手法により、剛性方程式を導き、これを解くことにより、アーチ中央面での節点変位が求められる。このモデルにおいては、断面力の算定の段階で、要素の節点力を、ただちに、アーチ曲面の断面力とすることはできない。そこで、ひずみ、断面力の算定には、中央面変位の差分表示により、変位の微係数を算定し、シェルのひずみ-変位関係式、応力-変位関係式を用いて計算を行なった。

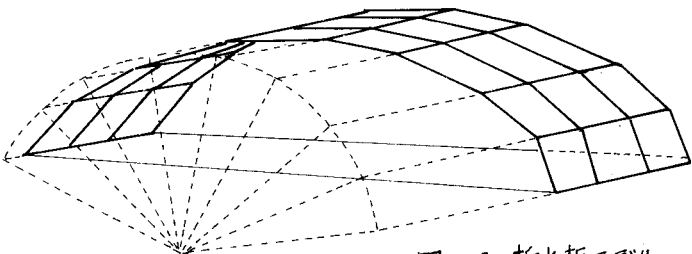


図-3 折れ板モデル

### 4. 計算結果、および、実験結果

上述の計算方法の妥当性を評価するため、アルミ製の模型実験を行なった。斜角 $\psi = 75^\circ$ 、支間 $L = 120\text{ cm}$ 、幅 $A = 40\text{ cm}$ 、ライス $F = 20\text{ cm}$ 、等厚 $= 0.4\text{ cm}$ 、ボアソン比 $= 0.31$ 、ヤング係数 $= 70,400 \text{ kg/cm}^2$ の模型実験結果と、計算結果を比較したものが、図-4、図-5である。図-4には、アーチ裏面の橋軸方向ひずみを示す。( )内の値は、ワイヤーストレンゲージにより測定された実験値である。荷重は、円筒半径方向(アーチ面の法線方向)の $30\text{ kg}$ 集中荷重である。固定端においては、ひずみが、鉛直部に集中される状態をよく示している。図-5は、半径方向 $30\text{ kg}$ 集中荷重による半径方向変位を示す。実験値は、最小目盛 $1 \times 10^{-3}\text{ mm}$ のダイヤルゲージをセットして測定した。非対称荷重により、ゆじれの状態を示している。模型の寸法が小さいため、比較する値の有効数字が充分ではないが、近似性は良好である。変位のひずみに関しては、中員方向に4分割、橋軸方向に8分割モデルで充分な近似解が得られましたが、ひずみ、応力に関しては、差分表示の精度を高めたため、橋軸方向に22分割が必要であった。

#### 参考文献

- 1) Engineering News-Record, Feb. 22 1923
- 2) "Analysis of the stresses in the ring of a concrete skew arch" Trans. ASCE No. 1542
- 3) "The Rigid Frame Bridges P137-P141"
- 4) "Reinforced Concrete Skew Rigid Frame and Arch Bridge" Trans. ASCE No. 2882
- 5) "Analysis of Skew Rigid Frames and Anchors" Journal, ACI Feb. 1952.

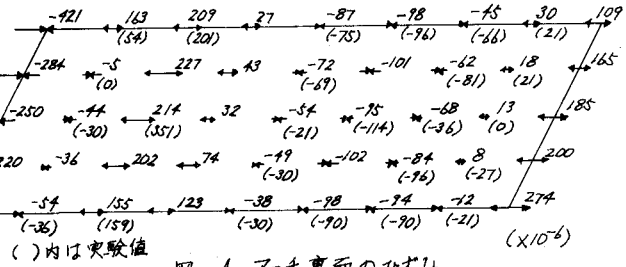


図-4 アーチ裏面のひずみ

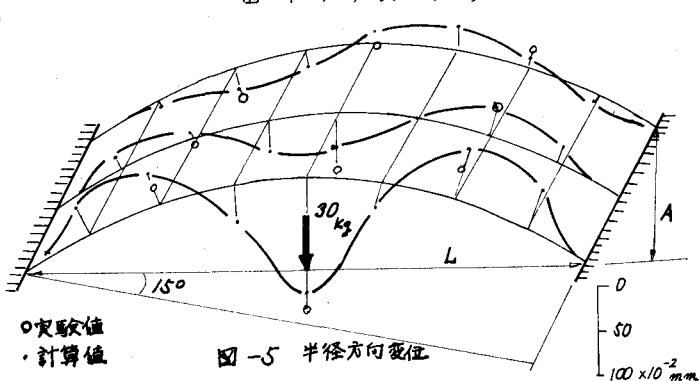


図-5 半径方向変位